

佐賀大学 理工学部 正会員 ○鬼塚 克忠  
 ウ ウ ウ 吉武 茂樹

1. はじめに 静止土圧係数  $K_0$  の値は、水平方向ヒズミ  $\epsilon_h$  がゼロの状態における、水平有効応力  $\sigma'_h$  と鉛直有効応力  $\sigma'_v$  の比で定義される。すなわち  $K_0 = (\sigma'_h / \sigma'_v)_{\epsilon_h=0}$ 。砂や飽和粘土の  $K_0$  値は、多くの人々によって実験的および理論的方法によって研究されてきた。しかしながら、締固めた不飽和土の  $K_0$  値に関する研究は、ほとんど行なわれていない。締固めた盛土のような不飽和土の  $K_0$  値は、飽和粘土と異なり、次のような特徴を有する。まず第1に、不飽和土の含水状態は降雨の有無や地下水位の変化などに大きく左右される。その結果、 $K_0$  値はせん断強度と同様に一定ではなく、経時的に変化する。第2に、大方の締固めた土は、過去に転圧荷重によって締固められており、一般的に過圧密土である。 $K_0$  値は過圧密比と密接な関係にあるものと思われる。

そこで、新たにゴムのダイヤフラムを利用して  $K_0$  測定装置を試作した。この装置に種々の含水状態のマサ土をゆるく詰めて、 $K_0$  压密試験を行ない、正規圧密および過圧密領域における水平応力  $\sigma'_h$  を測定した。

## 2. 試験方法 2.1 試験装置

新しく作成した  $K_0$  測定装置の概要を Fig. 1 に示す。試料は直径 10 cm、高さ 5 cm にならのように詰める。試料高さ 5 cm の側壁の内、下部の 3 cm は、厚さ 2 mm のゴム膜が張りめぐらされている。このゴムのダイヤフラムの外側は、高さ 3 cm、幅 1.5 cm 程のソング状空間からなり、この中に水を入れる。土中に働く水の心力をゴムのダイヤフラムが受け、この水圧を小型圧力変換器で測定する。

2.2 試料 用いた試料は佐賀郡川上で採取したマサ土である。 $G_s = 2.64$ 。粒度分布は 2 mm 以上: 25%, 0.074~2 mm: 61%, 0.005~0.074 mm: 10%, 0.005 mm 以下: 4% である。コンシステンシーは NP である。試験には 2 mm 以下のものを使用した。

2.3 試験の手順 空気乾燥した試料に水を加え初期含水比を調整したものとが乾燥試料とでさきだけゆるく、容器の中に詰めた。これを圧密試験機にセットし、通常の圧密試験荷重を載荷した。

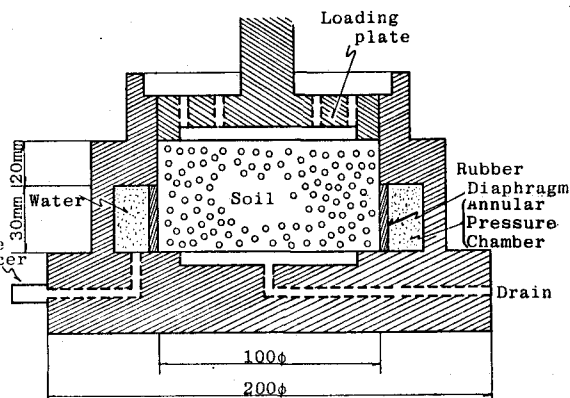


Fig. 1 Assembly of test cell

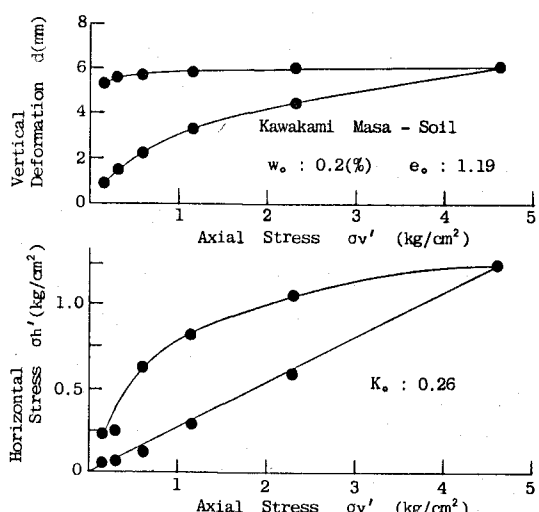


Fig. 2 Vertical deformation, horizontal stress - axial stress

最大圧密荷重に達した後は、逆に1荷重ずつ除荷した。各荷重の圧密および除荷時間は20分間とした。一部試料は上盤を載せた後、給水して飽和させ、圧密・除荷試験を行なった。

### 3. 試験結果と考察 3.1 水平応力と鉛直応力の関係

Fig.2, Fig.3に試験結果を示す。前者は乾燥試料で、後者は比較的高含水比の試料である。垂直変位を測定して、 $e - \log P$ 曲線を描くと、必ずしも直線にはならない。しかし極力、ゆるく読みてみると、先行荷重は無視できるほど小さいと考える。よって載荷時は正規圧密領域であり、 $\sigma_h' - \sigma_v'$ は直線的に増大する。この傾きを求めるとき、それを $K_0 = 0.26, 0.37$ となる。幾分、小さくようにも思える。除荷時の過圧密領域では、飽和粘土と同じく、 $\sigma_h' - \sigma_v'$ は曲線となり、 $K_0$ 値は正規圧密領域のものよりかなり大きくなる。

3.2  $K_0$ 値と含水比の関係 Fig.4に正規圧密領域における $K_0$ 値と初期含水比の関係を示した。乾燥試料を除くと、初期含水比10%あたりで最小の $K_0$ 値をとる。この傾向は次のように理由づけできる。この10%あたりの含水比で、毛管水による粒子間圧縮力が最大となり、せん断強度が最も大きくなる。その結果、鉛直荷重を受けても土構造はあまり変形せず、水平方向の応力が小さい。一方、水浸試料では、メスカスの消失と水の潤滑作用の影響などのため、上記とは逆の現象が生じる。著者らの研究によると、土の見かけの粘着力 $C_f$ は、毛管水の粒子間圧縮力によって、乾燥側で $\pi - 7$ を示す。 $K_0$ 値は乾燥側で最小になり、ちょうど逆の関係にある。不飽和土の $K_0$ 値は、この粘着力 $C_f$ と対応関係にあるものと推察できる。

3.3  $K_0$ 値と過圧密比の関係 過圧密領域で $K_0$ 値を求め、過圧密比OCRとの関係の一例をFig.5に示した。一般に、OCRが大きくなると $K_0$ 値も増大するようである。 $K_0$ 値とOCRの関係が両対数座標で直線になるものもいくつか見られる。しかし多くのものは直線にならない。飽和粘土の場合、 $K_0$ とOCRの関係は $\phi$ (あるいは $I_p$ )で決まる。しかし、純粹に不飽和土については、如何なる要因が支配的因素か、現時点では不明である。

### 3.4 あとがき 研究の緒についたばかりである。

試験装置の改良、データの集積など今後の課題が多い。最後に、協力いただいた本学学生、上野謙二君に感謝だ。

### 参考文献

E.W. Brooker and H.O. Ireland(1965) Earth Pressures at Rest Related to Stress History, Canadian Geotechnical Journal

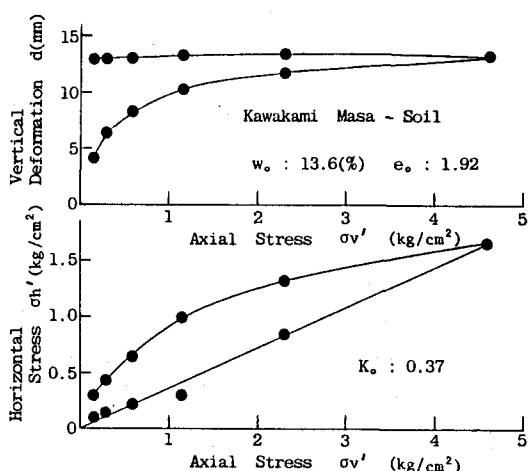


Fig. 3 Vertical deformation, horizontal stress - axial stress

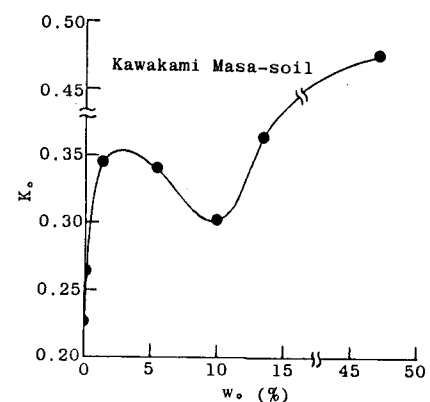


Fig. 4 Relation between  $K_0$  value and water content

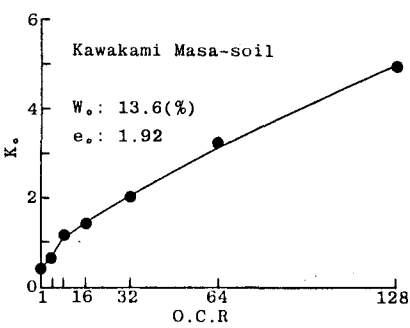


Fig. 5 Relation between  $K_0$ -value and O.C.R.